

УДК 518.5:681.142.001.2

ПРИМЕНЕНИЕ МЕТОДОВ КВАДРАТИЧНОГО ПРОГРАММИРОВАНИЯ
ДЛЯ ОПТИМИЗАЦИИ ПАРАМЕТРОВ ДИНАМИЧЕСКИХ СИСТЕМ

В.К. Королев

Излагается методика расчета оптимальных параметров динамических систем, основанная на применении методов квадратичного программирования. Дается описание универсальной программы оптимизации. Приводится пример расчета для одного из элементов вычислительной техники.

I. Постановка задачи

Рассматривается некоторая динамическая система, описываемая следующими уравнениями:

$$\begin{aligned} \dot{x} &= \varphi(x, y, z, t), \\ \frac{dy}{dt} &= f(x, y, z, t) \end{aligned} \quad (I)$$

с начальными уравнениями: $y(t_0) = y^0$.

Здесь $y^T = \|y_1, \dots, y_n\|$ и $x^T = \|x_1, \dots, x_p\|$ - векторы состояний^{*)} системы, $\dot{x}^T = \|x_1, \dots, x_m\|$ - вектор параметров^{**)},

^{*)}Например, токи, напряжения и т.п.

^{**)}Например, сопротивления, ёмкости и т.п.

t - время (знак "т" означает транспонирование).

Система (I) рассматривается на конечном интервале времени T :

$$T = \{t \mid t_0 \leq t \leq t_N\}.$$

На параметры системы наложены двусторонние ограничения так, что область их изменения есть m -мерный параллелепипед \mathcal{X} :

$$\mathcal{X} = \{x \mid \alpha \leq x \leq \beta\}. \quad (2)$$

Система конечных уравнений в (I) предполагается разрешимой относительно вектора x для каждого момента времени $t \in T$ и для всех допустимых значений параметров $x \in \mathcal{X}$, хотя это не всегда возможно сделать явно. Векторные функции φ и f предполагаются дважды непрерывно дифференцируемыми по x , y и z .

Рассматривается функционал:

$$S[x] = \int_{t_0}^{t_N} [z_1(x, y, z, t) - z_*(t)]^2 dt, \quad (3)$$

представляющий квадрат уклонения "выходной" функции системы z от заданной функции времени $z_*(t)$.

На решении системы (I) функционал (3) превращается в функцию параметров $S(x)$. Ставится задача отыскания её минимума в области (2):

$$\min \{S(x) \mid x \in \mathcal{X}\}. \quad (4)$$

Некоторые замечания. Сформулированное выше есть задача нелинейного математического программирования с весьма простой (выпуклой) допустимой областью и сложным заданием функции цели.

Без специальных требований на правые части системы (I) вопрос о выпуклости целевой функции $S(x)$, значения которой могут быть получены, вообще говоря, только численно, остается открытым. Поэтому задача ставится на отыскание локального минимума.

В [1] применен один из "инженерных" способов оптимизации, взятый из [3], в работе [2] производится реализация более точного метода возможных направлений Зойтендайка [4]. Отправим

моментом при переходе от общего метода Зойтендайка к излагаемому ниже было стремление линеаризовать трансцендентное (в общем случае) уравнение для определения величины градиентного шага. Далее, способ вычисления производных по параметрам от целевой функции, применявшийся в [1] и [2], был основан на интегрировании так называемой системы уравнений в вариациях, что не позволяло эффективно стандартизовать программу.

При численном способе дифференцирования оказывается возможным оставить в качестве нестандартной части программы лишь два блока: счета правых частей системы (I) и расчета начального значения функционала (3).

Кроме того, в данной работе решается вопрос об определении допусков на оптимальные значения параметров.

2. Сведение задачи (4) к задаче квадратичного программирования

Идея предлагаемого метода состоит в линеаризации выходной функции по вариациям параметров в окрестности допустимой точки $x \in \mathcal{X}$, минимизация в этой окрестности получающейся квадратичной формы для $S(x)$ и повторении этой процедуры в найденной точке минимума.

Пусть

$$\begin{cases} y^* = y(x^*, t), \\ x^* = x(x^*, t). \end{cases}$$

— решение системы (I) для допустимой точки x^* . Разложим выходную функцию z в ряд Тейлора по вариациям параметров:

$$z_i = z_i^* + \sum_i \frac{\partial z_i^*}{\partial x_i} \delta x_i + \frac{1}{2} \sum_i \sum_j \frac{\partial^2 z_i^*}{\partial x_i \partial x_j} \delta x_i \delta x_j + o(\delta x^2), \quad (5)$$

где

$$z_i^* = z_i(x^*, y^*, z^*, t),$$

$$\frac{\partial z_i^*}{\partial x_i} = \left. \frac{\partial z_i}{\partial x_i} \right|_{(x^*, y^*, z^*, t)}, \quad (6)$$

$$\frac{\partial^2 z_i^*}{\partial x_i \partial x_j} = \left. \frac{\partial^2 z_i}{\partial x_i \partial x_j} \right|_{(x^*, y^*, z^*, t)}.$$

Требование дважды непрерывной дифференцируемости правых частей (1) обеспечивает непрерывность вторых производных $\frac{\partial^2 z_i}{\partial x_i \partial x_j}$ [5]. Поэтому остаточный член в разложении (5) будет величиной более высокого порядка малости, чем δx^2 , и в дальнейшем опускается.

Подставляя линейную часть разложения в выражение функционала, мы получаем локальную аппроксимацию целевой функции квадратичной формой:

$$S(\delta x) = \int_{t_0}^{t_N} [z_i^* - z_i + \sum_i \frac{\partial z_i^*}{\partial x_i} \delta x_i]^2 dt = S^0 + P^T \delta x + \delta x^T C \delta x, \quad (7)$$

где

$$S^0 = \int_{t_0}^{t_N} (z_i^* - z_i)^2 dt,$$

$$P_i = 2 \int_{t_0}^{t_N} (z_i^* - z_i) \frac{\partial z_i^*}{\partial x_i} dt, \quad (8)$$

$$C_{ij} = \int_{t_0}^{t_N} \frac{\partial z_i^*}{\partial x_i} \cdot \frac{\partial z_j^*}{\partial x_j} dt.$$

(О вычислении производных (6) см. п. 4).

Для определения окрестности, в которой справедлива линеаризация функции z_i , потребуем, чтобы квадратичная часть разложения была величиной порядка ϵ , где $\epsilon > 0$ – заданное малое число, по сравнению с линейными членами:

$$\left\| \frac{1}{2} \sum_i \sum_j \frac{\partial^2 z_i^*}{\partial x_i \partial x_j} \delta x_i \delta x_j \right\| \leq \epsilon \left\| \sum_i \frac{\partial z_i^*}{\partial x_i} \delta x_i \right\|.$$

Отсюда определим $\Delta x_i \equiv |\delta x_i|$ следующим образом:

$$\Delta x_i = 2\epsilon \frac{\alpha_i}{\alpha_{ii}}, \quad (9)$$

где

$$\alpha_i^2 \equiv \left\| \frac{\partial z_i^*}{\partial x_i} \right\|^2 = \int_{t_0}^{t_N} \left(\frac{\partial z_i^*}{\partial x_i} \right)^2 dt,$$

$$\alpha_i^2 \equiv \left\| \frac{\partial^2 z_i^*}{\partial x_i^2} \right\|^2 = \int_{t_0}^{t_N} \left(\frac{\partial^2 z_i^*}{\partial x_i^2} \right)^2 dt.$$

Задачу минимизации квадратичной формы (7) будем решать в локальной допустимой области $\Delta \mathcal{X}_i$, представляющей пересечение окрестности (9) с исходной допустимой областью X :

$$\Delta \mathcal{X} = \{ \delta x_i \mid x_l \leq \delta x_i \leq x_{l_i}, i=1, \dots, m \}, \quad (10)$$

где

$$x_{l_i} = \max(\alpha_i - x_i, -A x_i),$$

$$x_{r_i} = \min(b_i - x_i, A x_i).$$

3. Решение задачи квадратичного программирования

Итак, мы имеем следующую задачу:

$$\min \{ P^T \delta x + \delta x^T C \delta x \mid \delta x \in \Delta \mathcal{X} \},$$

для решения которой можно применить любой из методов квадратичного программирования [8].

Использование метода возможных направлений Войтендейка дает накопление ошибки счета в матричных операциях, что приводит к отрицательным значениям квадратичной формы $\delta x^T C \delta x$. В результате при вычислении градиентного шага получается отрицательное значение, и процесс теряет смысл. Поэтому применяется другой метод квадратичного программирования Хилдретта и д'Эоно [8].

В силу того, что все $C_{ii} \geq 0$ (см. (8)), т.е. в сечении квадратичной формы гиперплоскостями, параллельными координатным, все параболы выпуклы вниз, полагаем на $(k+1)$ -й итерации:

$$\delta x_i^{k+1} = \begin{cases} x_{l_i} & \text{если } \delta x_i^{k+1} \leq x_{l_i}, \\ \delta x_i^{k+1} & \text{если } x_{l_i} \leq \delta x_i^{k+1} \leq x_{r_i}, \\ x_{r_i} & \text{если } x_{r_i} \leq \delta x_i^{k+1}, \end{cases}$$

где

$$\hat{\delta}x_i^{k+1} = \frac{1}{c_{ii}} \left(-P_i - \sum_{j=0}^{i-1} C_{ij} \delta x_j^{k+1} - \sum_{j=i+1}^m C_{ij} \delta x_j^k \right), \quad i=1, \dots, m.$$

Итерации повторяются, пока все разности $|\delta x_i^{k+1} - \delta x_i^k|, i=1, \dots, m$, не сделаются достаточно малыми.

После того, как в области (10) найдена минимальная точка, она занимает место точки \bar{x} , и весь процесс повторяется. В результате мы приходим либо к внутреннему минимуму функции $S(x)$, что определяется по экстремуму аппроксимирующей квадратичной формы, либо выходим в такую граничную точку исходной допустимой области, откуда невозможно продолжить описанный выше процесс минимизации.

Допуски Δx_i на оптимальные значения параметров определяются следующим образом. Пренебрегая квадратичным членом функции $S(\delta x)$ в локальной допустимой области, потребуем, чтобы линейный член был порядка ε , но сравнению с S^* :

$$|P' \Delta \bar{x}| \leq \varepsilon S^*.$$

Кроме того, величина допуска не должна превышать размер локальной допустимой области. Отсюда, используя принцип равных возможностей [7], находим:

$$\Delta x_i = \min \left(\frac{\varepsilon S^*}{m |P_i|}, \Delta x_i^* \right), \quad i=1, \dots, m.$$

4. Универсальная программа

Программа составлена на языке АКИ [9], [10] для ЭЦМ "Минск-2" и позволяет решать задачи типа (1)-(4) следующих размеров: $m \leq 20$, $n \leq 20$.

Она состоит из четырех функциональных блоков и трех подпрограмм, одна из которых содержит свою подпрограмму (рис.1)*:

- 1 - блок выбора шага интегрирования,
- 2 - блок счета коэффициентов квадратичной формы,
- 3 - блок решения квадратичной задачи,
- 4 - блок управления итерациями;

* Все рисунки даны в приложении.

- 5 - подпрограмма вычисления интеграла,
- 6 - подпрограмма интегрирования системы (I),
- 7 - подпрограмма счета правых частей системы (I),
- 8 - подпрограмма расчета начального значения функционала.

На рис.2-5 приведены подробные блок-схемы основных блоков программы. Поэтому мы ограничимся здесь лишь некоторыми пояснениями.

Блок I (рис. 2). Интегрирование системы (I) проводится методом Рунге-Кутта четвертого порядка с постоянным шагом, выбор величины которого существен: малая его величина ведет к расходованию излишнего машинного времени, большая - к потере точности счета.

Оптимальным шагом интегрирования \hbar мы считаем такой, при котором выполнены следующие соотношения:

$$\frac{|S_1 - S_2|}{\frac{1}{2}(S_1 + S_2)} > \varepsilon, \quad \frac{|S_1 - S_{\frac{1}{2}}|}{\frac{1}{2}(S_1 + S_{\frac{1}{2}})} < \varepsilon, \quad (II)$$

где S_1 , S_2 и $S_{\frac{1}{2}}$ - значения функционала (3), вычисленные при величинах шага соответственно \hbar , $2\hbar$, $\frac{1}{2}\hbar$.

Блок I проводит интегрирование системы (I), последовательно уменьшая или увеличивая \hbar и запоминая то его значение, при котором выполняются соотношения (II).

Так как для массива решения $\{x_1(t_1), x_2(t_1), \dots, x_n(t_N)\}$ в программе отведено определенное количество ячеек, то при дроблении шага число компонент данного массива может превысить размер отведенного для него места. В таком случае приходится увеличивать ε . При этом проверяется, нельзя ли шаг \hbar еще увеличить.

В конце работы блока выдаются на печать следующие величины: $\varepsilon, N, \hbar, x_1(t_1), \dots, x_n(t_N), S$.

Блок I работает всякий раз, когда начинает обсчитываться новая допустимая точка x (см. блок 4).

Блок 2 (рис.3) вычисляет величины P_i и C_{ij} , а также величину окрестности (10).

Производные $\frac{\partial x_i^*}{\partial x_i}$ и $\frac{\partial^2 x_i^*}{\partial x_i^2}$ определяются по формулам численного дифференцирования [6]:

$$\begin{aligned}\frac{\partial z_i^o}{\partial x_i} &= \frac{1}{2\Delta x_i} (z_i^+ - z_i^-), \\ \frac{\partial^2 z_i^o}{\partial x_i^2} &= \frac{1}{(\Delta x_i)^2} (z_i^+ - 2z_i^o + z_i^-),\end{aligned}\quad (I2)$$

где $z_i^+ = z_i(x_1^o, \dots, x_{i-1}^o, x_i^o + \Delta x_i, x_{i+1}^o, \dots, x_m^o, t)$,
 $z_i^- = z_i(x_1^o, \dots, x_{i-1}^o, x_i^o - \Delta x_i, x_{i+1}^o, \dots, x_m^o, t)$.

Счет производных (I2) проводится в каждой точке

$$t_k = t_o + kh, \quad k=1, \dots, N.$$

Интегралы (8) вычисляются по методу Симпсона с постоянным шагом.

Блок 3 (рис.4) после определения локальной допустимой области решает локальную квадратичную задачу и в найденной точке минимума определяет истинное (а не аппроксимационное!) значение функции цели.

Блок 4 (рис.5) в случае увеличения целевой функции уменьшает ε для получения более точной аппроксимации и продолжает процесс минимизации, начиная с предыдущей допустимой точки x .

Последовательное уменьшение функции цели продолжается до тех пор, пока величина относительного её уменьшения не сделается меньше текущего значения ε . Затем ε уменьшается, и весь процесс (начиная с выбора h) повторяется.

В результате мы либо по некоторым параметрам получим внутренний минимум, а по остальным выйдем на границу допустимой области \mathcal{X} , либо в процессе минимизации относительное уменьшение целевой функции станет меньше заданного числа ε .

По окончании минимизации вычисляются допуски на оптимальные параметры.

Перед остановом машины на печать выдаются:

$$\varepsilon, x, \Delta x, N, h, z_i(t_0), \dots, z_i(t_N), S.$$

Отметим ещё раз, что мы последовательно (по ε) приближаемся к решению: начиная с некоторого значения ε , приходим в

грубую окрестность решения, затем уточняем это решение путем уменьшения окрестности (9) и улучшения аппроксимации. Такой прием позволяет при повышенной точности счета существенно экономить машинное время.

Блок 5 в пояснениях не нуждается (см. ПОД *SUM* в авторской программе).

Блок 6 – подпрограмма интегрирования (ПОД *RUKU*) взята с небольшими дополнениями из [9].

Блок 7 – нестандартный (подпрограмма счета правых частей системы (I) – ПОД *SPZ*), объединяется с основной подпрограммой так же, как и ПОД *RNZ*, с помощью корректирующего оператора ВСТАВЬТЬ. Объем ПОД *SPZ* ≤ 1500 ячеек памяти. В подпрограмме *SPZ* должно произойти присвоение переменной z_1 текущего значения выходной функции, переменной z_0 – значения разности $z_1 - z_*$.

Блок 8 – нестандартный (ПОД *RNZ*), рассчитывает начальное значение подынтегральной функции в (3) для $t = t_o$.

В операторе ВВОД описываются:

- начальное значение относительной погрешности ε ;
- её нижняя граница ε_1 ;
- начальный шаг интегрирования h ;
- число оптимизируемых параметров m ;
- векторы ограничений a и b ;
- вектор оптимизируемых параметров x ;
- вектор начальных условий y^o ;
- N – число точек разбиения интервала T , соответствующее шагу h ;
- число оптимизируемых параметров m_x ;
- порядок системы (I) n_y .

Величины всех остальных параметров системы, не подлежащих оптимизации, описываются числами в ПОД *SPZ*.

Пример оптимизации параметров усилителя-формирователя является иллюстрацией изложенной выше методики. Выбран упрощенный вариант схемы [2]: случай отсутствия насыщения в транзисторе.

Для удобства счета введены размерные масштабные коэффициенты

Перфорируется фактическое количество компонент перечисленных массивов.

еяты: $\tau = 10^{-6}$ сек, $\tau = 100$ ом, $t = 0,01$ а.

Система (I) для усилителя-формирователя с учетом сделанных выше замечаний имеет вид:

$$x_0 = x_1 - x_9,$$

$$x_1 = 4,3 x_6,$$

$$x_2 = \frac{0,6}{3y_3 + 1},$$

$$x_3 = \frac{-0,033 \cdot 5,26 y_4 + 3,7 - y_4}{x_1 + x_2 + 0,033},$$

$$x_5 = 5,26 y_4 - x_2 y_4 + x_5,$$

$$x_6 = 5,26 y_3 - y_2,$$

$$x_7 = -x_5 y_2 + x_3,$$

$$x_9 = \begin{cases} \frac{6,75}{0,3} y_4, & \text{если } 0 \leq y_4 \leq 0,3, \\ 6,75, & \text{если } 0,3 \leq y_4 \leq 1,5, \\ \frac{6,75(2,56-y_4)}{1,05}, & \text{если } 1,5 \leq y_4 \leq 2,56. \end{cases}$$

$$\frac{dy_1}{dt} = x_4 x_6,$$

$$\frac{dy_2}{dt} = -y_3^2 \cdot 0,363 - 0,25 y_3 + x_3,$$

$$\frac{dy_3}{dt} = \frac{4,3 x_6}{x_2},$$

$$\frac{dy_4}{dt} = 1.$$

Начальные условия: $y_1(0) = \dots = y_4(0) = 0$.

В качестве оптимизируемых параметров взяты следующие (ср. с [2]): $x_1 = \tau_1$, $x_2 = \tau_4$, $x_3 = L_0$, $x_4 = \frac{1}{C}$, $x_5 = \mu$.

Ограничения на параметры:

$$\alpha_1 = 1; \quad \alpha_2 = 0,5; \quad \alpha_3 = 3; \quad \alpha_4 = 0,5; \quad \alpha_5 = 0,1;$$

$$b_1 = 2; \quad b_2 = 1,5; \quad b_3 = 7; \quad b_4 = 1,5; \quad b_5 = 0,6.$$

Проведен счет четырех вариантов, причем исходная точка x^0

выбиралась в разных местах допустимой области \mathcal{X} .

Текст автокодовой программы, объединенный с ПОД *SPZ* и ПОД *RNZ* для рассматриваемого примера, приведен в приложении.

Результаты счета сведены в табл. I и представлены на рис. 6-9, где цифры у кривых обозначают номера вариантов таблицы:

Таблица I

| $\#$ варианта | E^0 | x_1^0 | x_2^0 | x_3^0 | x_4^0 | x_5^0 | S^0 | \hat{E} | \hat{x}_1 | \hat{x}_2 | \hat{x}_3 | \hat{x}_4 | \hat{x}_5 | \hat{S} |
|------------------|-------|---------|---------|---------|---------|---------|-------|-----------|-------------|-------------|-------------|-------------|-------------|-----------|
| 1 | 0,32 | 1,5 | 1,0 | 5,0 | 1,0 | 0,36 | 17,6 | 0,16 | 2,0 | 1,5 | 7,0 | 0,5 | 0,15 | 2,53 |
| 2 | 0,16 | 1,5 | 1,0 | 5,0 | 1,0 | 0,36 | 17,6 | 0,16 | 2,0 | 1,5 | 6,84 | 0,5 | 0,14 | 2,42 |
| 3 | 0,16 | 1,1 | 0,6 | 3,2 | 1,4 | 0,5 | 53,7 | 0,04 | 1,69 | 1,5 | 6,68 | 0,51 | 0,10 | 3,75 |
| 4 | 0,16 | 1,9 | 1,0 | 6,8 | 1,4 | 0,5 | 13,1 | 0,04 | 1,52 | 1,5 | 7,0 | 0,64 | 0,15 | 3,62 |

(значками $(^0)$ и $(\hat{\cdot})$ помечены соответственно исходные и оптимальные кривые). Среднее время счета для одного варианта ~ 4 мин.

Заключение

1. Задача оптимизации параметров динамической системы формулируется как задача минимизации функционала, представляющего квадрат уклонения выходной функции системы от заданной. Выходная функция получается из решения системы дифференциальных уравнений. Допустимой областью является параллелепипед с гранями, параллельными координатным гиперплоскостям.

2. Путем линеаризации выходной функции по приращениям параметров задача сводится к последовательности квадратичных программ.

3. В результате процесса оптимизации определяются также допуски на оптимальные значения параметров.

4. Приведена универсальная программа оптимизации, реализующая изложенную методику. Программа написана на языке АКИ для ЭЦПМ "Минск-2". Для пользования программой необходимо составить нестандартные блоки счета правых частей системы уравнений и расчета начального значения функционала и задать исход-

ные данные в требуемом порядке.

6. Проведенные расчеты для одной из конкретных схем вычислительной техники показали достаточную эффективность программы.

ЛИТЕРАТУРА

1. В.К.КОРОЛЕВ. Расчет оптимальных параметров импульсного трансформатора.-Вычислительные системы, "Наука", Новосибирск, 1967, вып.27.
2. В.К.КОРОЛЕВ. Оптимизация параметров усилителя-формирователя, там же.
3. Б.М.КАГАН и Т.М.ТЕР-МИКАЭЛЯН. Решение инженерных задач на ЭВМ."Энергия", М.-Л., 1964.
4. Г.ЗОЙТЕНДЕЙК. Методы возможных направлений. ИЛ., М., 1963.
5. И.Г.ПЕТРОВСКИЙ. Лекции по теории обыкновенных дифференциальных уравнений. ГИТТА, М., 1952.
6. И.С.БЕРЕЗИН и Н.П.ХИДКОВ. Методы вычислений, т.1, Физматгиз, М., 1962.
7. Б.П.ДЕМИДОВИЧ и И.А.МАРОН. Основы вычислительной математики. Физматгиз, М., 1963.
8. Г.ЮНЦИ и В.КРЕЛЛЕ. Выпуклое программирование. "Советское Радио", М., 1965.
9. М.Е.НЕМЕНЬМАН и др. Автокод для решения инженерных задач на машине "Минск-2". Минск, 1965.
10. В.И.ПРОХОРОВ и др. Основы программирования для ЭЦВМ."Высшая школа". М., 1967.

Поступила в редакцию
19/VI - 1968 г.

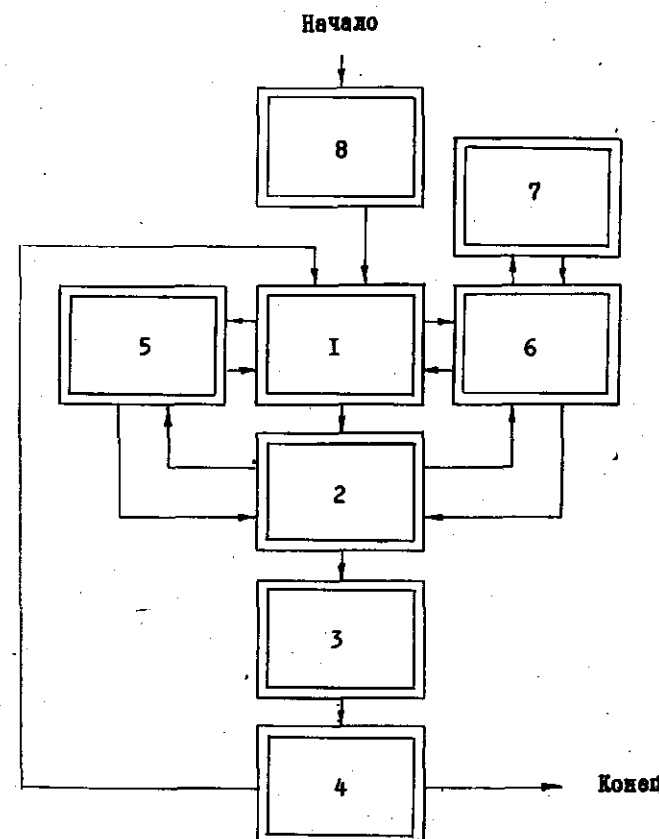


Рис. I

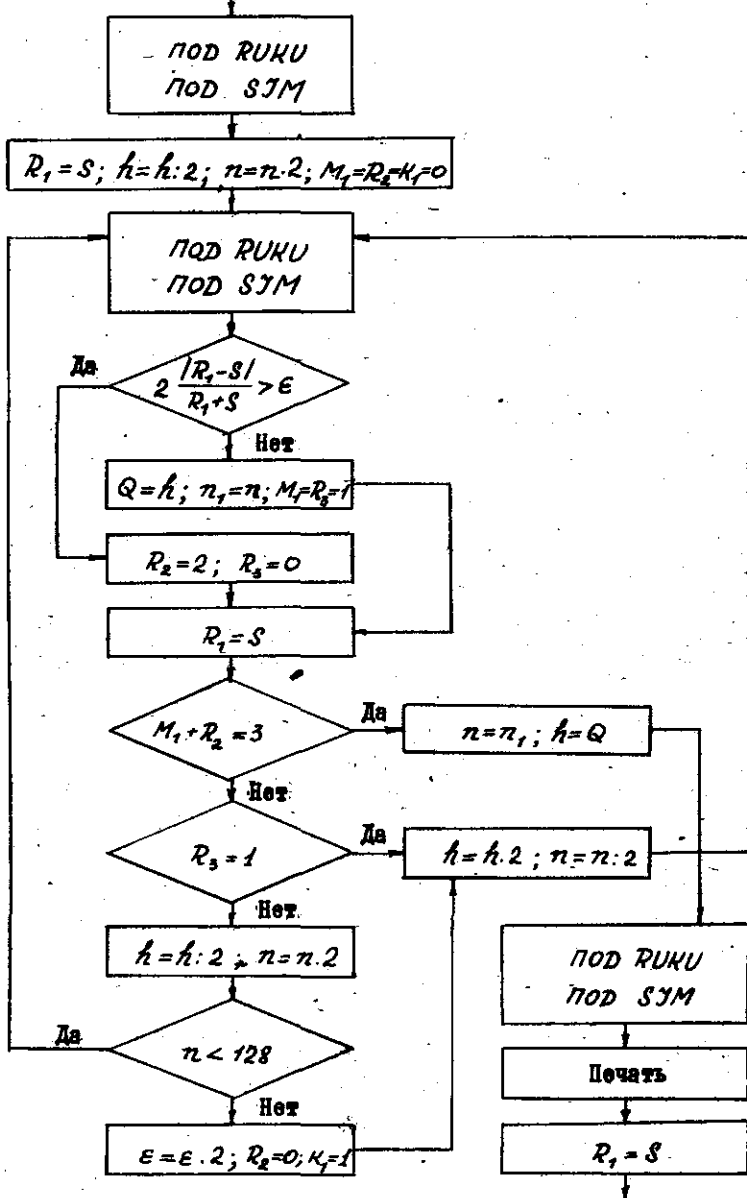


Рис. 2

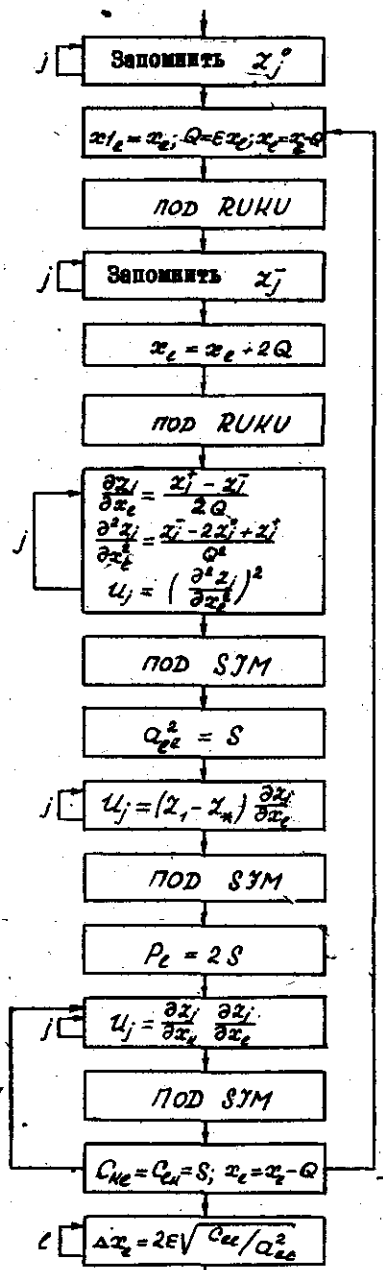
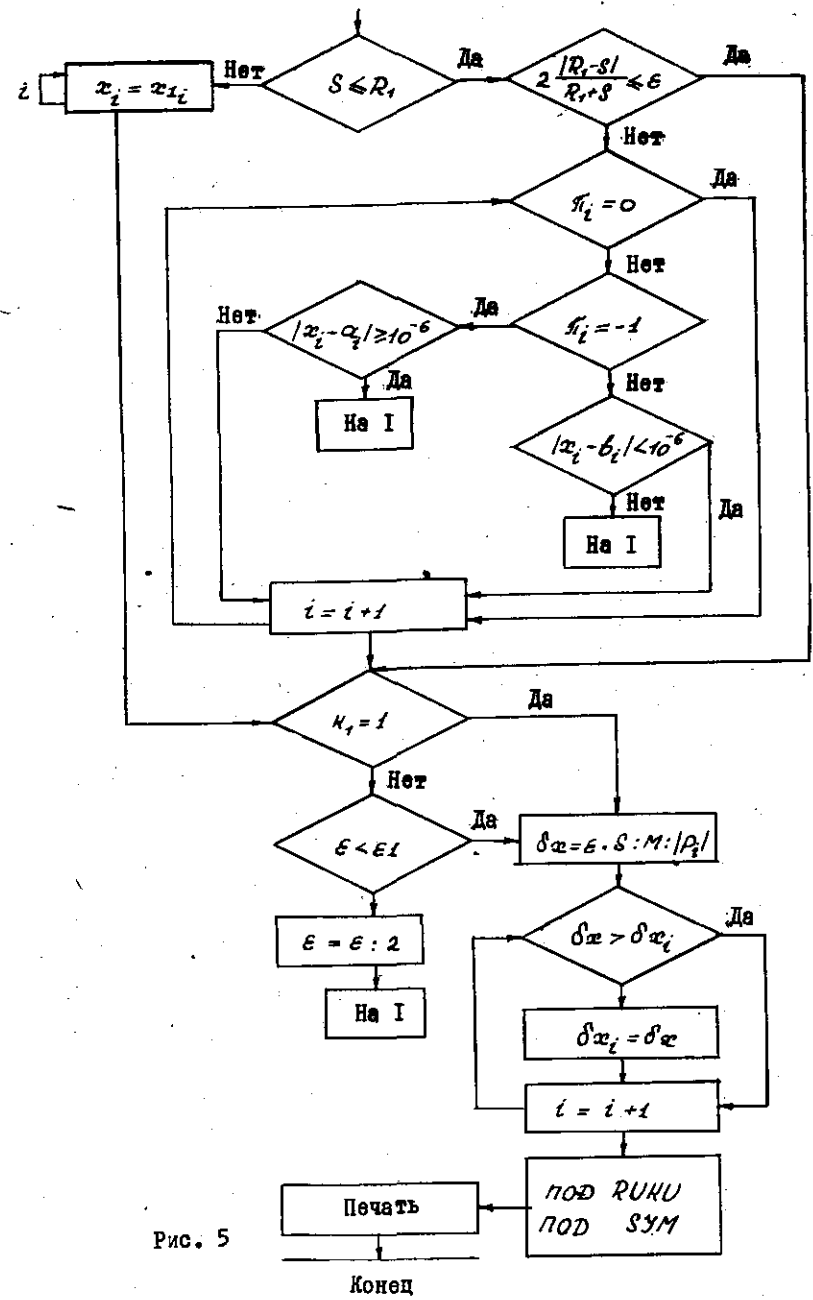
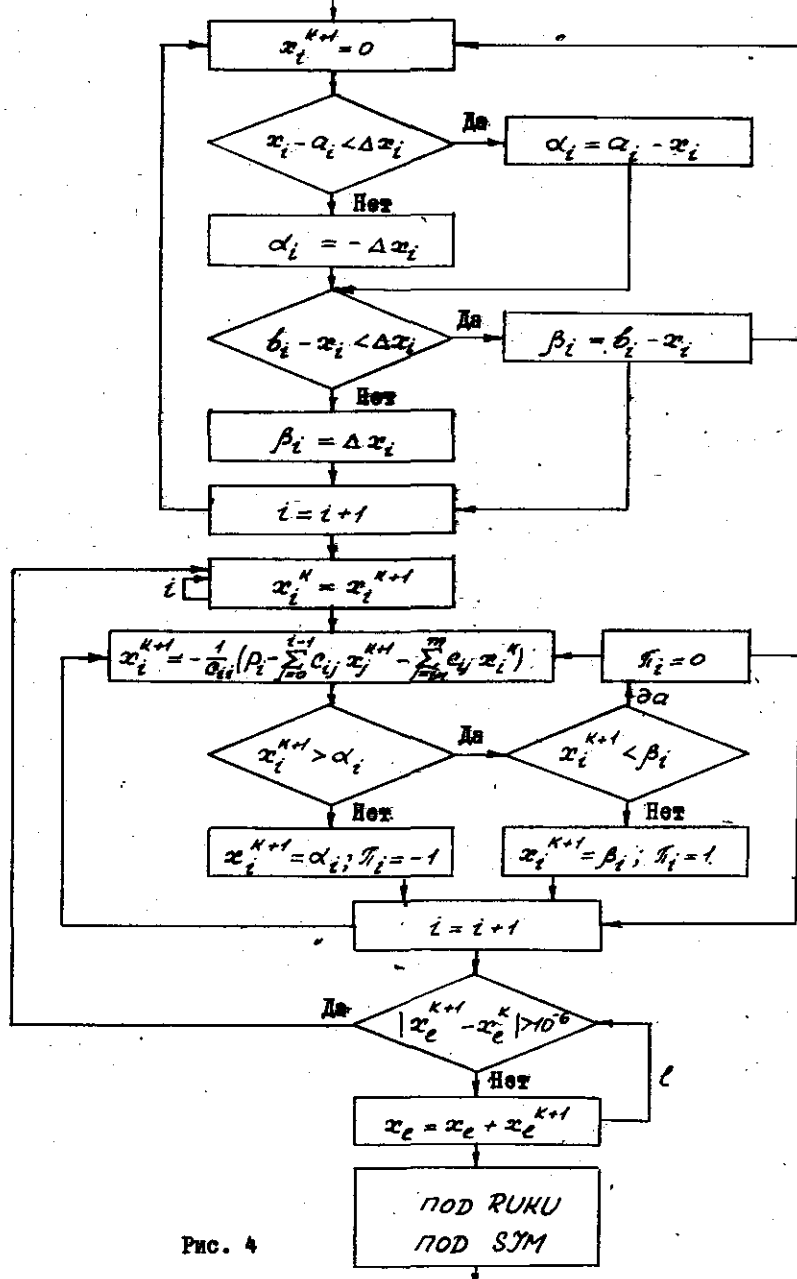
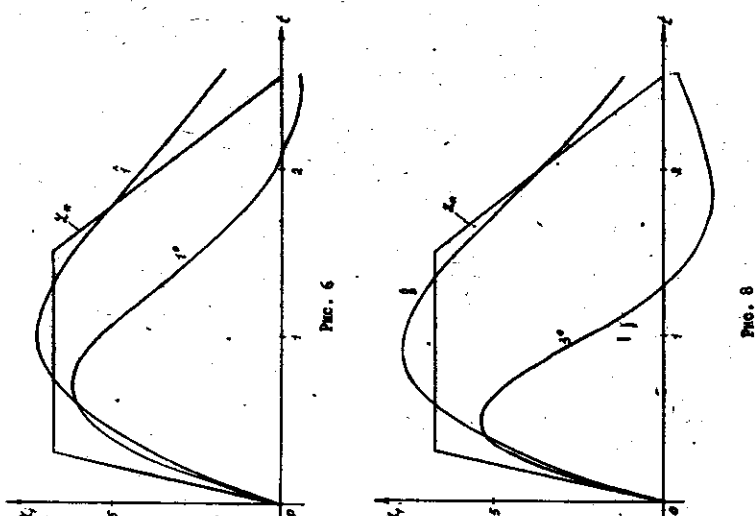


Рис. 3



ЛИСТ 01

ПОДАЧИХ.
 MAC AL(20),C(400 20.20),F(20),P(20),DX(20),Y(20),
 Y1(20),YR(20)≡
 U(64),V(64),W(64),Z(64),DZ(1280 20.64),V1(64)X
 НАБ PL=0,0,5,0,5,1 QL=1.2.2.1 PI(20)=AI/1/ XL(20)
 =V/1/ YP(20)≡
 =V/21/ X1(20)=V/41/ IX(20)=W/1/ IX1(20)=W/21/X
 1.БВО E,F1,H,M,A(20),B(20),I(20),YH(20):H,MX,NYX
 01 НМН 55X
 02 НМН 46X
 03 НМН 43X
 04 ЕСЛ :N=64 TO 56X
 05 ВЫЧ R1=S H=H:2X
 06 :N=N.2 M1=0 R2=0 K1=0X
 07 3.НМН 46X
 08 НМН 43X
 09 ЕСЛ 2.MOD(R1-S):(R1+S) Е TO 4X
 10 ВЫЧ Q=NK
 11
 12
 13
 14
 15
 16



68

ЛИСТ 02

01 ВЫЧ :N1=N M1=1 R3=1X
 02 НЕР 5X
 03
 04 4.ВЫЧ :R2=2 R3=0X
 05 5.ВЫЧ R1=SX
 06 ЕСЛ :M1+R2 =3 TO 7X
 07 ЕСЛ :R3 =1 TO 6X
 08 ЕСЛ :N =64 TO 56X
 09 ВЫЧ H=H:2X
 10 :N=N.2X
 11 6.ЕСЛ :N =4 TO 7X
 12 ВЫЧ H=N.2X
 КОД 6400 7003 N.-3000 0003 0000.-3077 00Q1 0000.
 0000 0000 0101X
 13 56.ВЫЧ :K1=1X
 14 НЕР 8X
 15 7.ВЫЧ :N=N1X
 16 ВЫЧ H=QX

ЛИСТ 03

01 НМН 46X
 02 НМН 43X
 03 НАИ НА ВРМ E,X(20),:N,H,Z(64),SX

04 ВЫЧ R1=SX
 05 8. ВЫЧ :N1=1X
 06 9. ВЫЧ V/J=/Z/J/X
 07 ПОВ 9 J=1 (1) NX
 08 10. ВЫЧ X1/L=/X/L/ Q=R1.X/L/ X/L=/X/L/-QX
 09 ВЫП 46X
 11. ВЫЧ W/J=/Z/J/X
 12 ПОВ 11 J=1 (1) NX
 13 ВЫЧ X/L=/X/L/+2.QX
 14 ВЫП 46X
 15 12. ВЫЧ DZ/L, J/=(Z/J/-W/J/):2:Q U/J/=((W/J/-2.V/J/+Z/J/):
 :Q*2)*2X
 16 ПОВ 12 J=1 (1) NX
 ВЫП 45X

ЛИСТ 04

01 ВЫЧ AL/L/=SX
 02 13. ВЫЧ U/J/=V1/J/.DZ/L,J/X
 03 ПОВ 13 J=1 (1) NX
 04 ВЫП 43X
 05 ВЫЧ P/L/=2.SX
 06 14. ВЫЧ U/J/=DZ/K,J/.DZ/L,J/X
 07 ПОВ 14 J=1 (1) NX
 08 ВЫП 43X
 09 ВЫЧ C/K,L/=C/L,K/=SX
 10 ПОВ 14 K=1 (1) NX
 11 ВЫЧ :N1=N1+1X
 12 ВЫЧ X/L=/X/L/-QX
 13 ПОВ 10 L=1 (1) MXX
 14 15. ВЫЧ X=C/K,L/ DX=DX:AL/L/X
 КОД -3300 0020 0021.-3077 0000 0000X
 16. ВЫЧ DX/L/=2.E.DX'(1:2)X

ЛИСТ 05

01 ПЕР 18X
 02 17. ВЫЧ DX/L/= D18X
 03 18. ПОВ 15 K=1 (1),L=1 (1) MXX
 04 19. ВЫЧ S=X/I/-A/I/ R=DX/I/ XK1/I/=0X
 05 ЕСЛ S (R TO 20X
 06 ВЫЧ XL/I/=-RX
 07 ПЕР 21X
 08 20. ВЫЧ XL/I/=-SX
 09 21. ВЫЧ S=B/I/-X/I/X
 10 ЕСЛ S (R TO 22X
 11 ВЫЧ XP/I/=-RX
 12 ПЕР 23X
 13 22. ВЫЧ XP/I/=SX

14 23. ПОВ 19 I=1 (1) MXX
 15 24. ВЫЧ XK1/I/=XX1/I/X
 16 ПОВ 24 I=1 (1) MXX

ЛИСТ 06

01 ВЫЧ :N1=0 M1=2X
 02 25. ВЫЧ XK1/I/=-P/I/X
 03 ЕСЛ :N1 =0 TO 27X
 04 26. ВЫЧ XK1/I/=-XX1/I/-C/I,J/.XX1/J/X
 05 ПОВ 26 J=1 (1) NX
 06 27. ЕСЛ :M1-1 =MX TO 29X
 07 28. ВЫЧ XK1/I/=-XX1/I/-C/I,J/.XX1/J/X
 08 ПОВ 28 J=M1 (1) MXX
 09 ВЫЧ XK1/I/=-XX1/I/:C/I,K/X
 10 29. ЕСЛ XK1/I/)XL/I/ TO 30X
 11 ВЫЧ XK1/I/=-XL/I/ PI/I/=-1X
 12 ПЕР 32X
 13 30. ЕСЛ XK1/I/ (XP/I/ TO 31X
 14 ВЫЧ XK1/I/=-XP/I/ PI/I/=-1X
 15 ПЕР 32X
 16 31. ВЫЧ PI/I/=-0X

ЛИСТ 07

01 32. ВЫЧ :N1=N1+1 M1=M1+1X
 02 ПОВ 25 I=1 (1),K=1 (1) MXX
 03 33. ЕСЛ MOD(XK1/L/-XK1/L/)) 10-6 TO 24X
 04 ВЫЧ X/L=/X/L/+XX1/I/X
 05 ПОВ 33 I=1 (1) MXX
 06 ВЫП 46X
 07 ВЫП 43X
 08 ЕСЛ S (-R1 TO 35X
 09 34. ВЫЧ X/I/=X1/I/X
 10 ПОВ 34 I=1 (1) MXX
 11 ПЕР 39X
 12 35. ЕСЛ 2.MOD(R1-S):(R1+S) -(=E TO 39X
 13 36. ЕСЛ MOD(PI/I/)(0,5 TO 38X
 14 ЕСЛ PI/I/ (-0,5 TO 37X
 15 ЕСЛ MOD(X/I/-B/I/) (10-6 TO 38 ИНАЧЕ 2X
 16 37. ЕСЛ MOD(X/I/-A/I/))=10-6 TO 2X

ЛИСТ 08

01 38. ПОВ 36 I=1 (1) MXX
 02 39. ЕСЛ :K1 =1 TO 40X
 03 ЕСЛ E (E1 TO 40X

04 ВЫЧ E-E:2X
 05 НЕР 2X
 06 ВЫЧ DX-E.S:M DX-DX:MOD(P/I)/X
 07 КОД -3300 0051 0052.-3077 0000 0000X
 08 41. ЕСЛ DX)=DX/I/ TO 42X
 09 ВЫЧ DX/I/=DXX
 10 42. ПОВ 40 I=1 (1) МНХ
 11 ВМХ 46X
 12 ВМХ 43X
 13 НАЧ НА ВРМ В,Х(20),DX(20),:N,H,Z(64),SX
 14 КОН X
 15 43. ПОД SIMX
 16 ВМТ S=S0X

Лист 09

01 ВЫЧ :R=S-1X
 02 44. ВЫЧ S=S+4.U/J/ S=S+2.U/J+1/X
 03 ПОВ 44 J=1 (2) МНХ
 04 45. ВЫЧ S=S-U/J/X
 05 ПОВ 45 J=1 (1).1X
 06 ВЫЧ S=S.H:3X
 07 ВМХ X
 08 ПОД RNUX
 09 ВЫЧ YR/I/=YR/I/ Y1/I/=YR/I/X
 10 ПОВ 47 I=1 (1) МНХ
 11 48. ВЫЧ Y/I/=YR/I/+F/I/.PL/E/.HX
 12 ПОВ 48 I=1 (1) МНХ
 13 ВМХ 51X
 14 ВЫЧ Y1/I/-Y/I/+H:6.F/I/.QL/E/X
 15 ПОВ 49 I=1 (1) МНХ
 16 ПОВ 48 K=1 (1) 4X

Лист 10

01 50. ВЫЧ YR/I/-Y1/I/X
 02 ПОВ 50 I=1 (1) МНХ
 03 ВЫЧ V1/J=-Z0 U/J/-Z0'2 Z/J=-Z1X
 04 ПОВ 48 J=1 (1) МНХ
 05 ВМХ X
 06 51. ПОД SP4X
 07 ВЫЧ Z2=0,6:(3.I/3/+1) Z3=(-0,033.5,26.Y/3/+1,7-I/1/)
 : (X/1/+Z2+≡
 08 0,033) Z5=5,26.Y/3/-X/2/Y/1/+Z3 Z6=5,26.Y/3/-I/2/≡
 Z7=X/6/+X/3).EXP(-X/5.I/2/) Z1=4,3.Z6X
 10 ЕСЛ Y/4/ >0,3 TO 52X
 11 ВЫЧ Z9=6,75.Y/4/:0,3X
 12 НЕР 54X
 13 52. ЕСЛ Y/4/ >1,5 TO 53X

14 ВЫЧ Z9=6,75X
 15 НЕР 54X
 16 53. ВЫЧ Z9=6,75.(2,56-Y/4/):1,06X

Лист II

01 54. ВЫЧ Z0=Z1-Z9 F/1/=X/4/.Z5 F/2/=4,3.Z6:Z7 F/3/=-Y/3/
 2,0,363 ≡
 02 -0,25.Y/3/+Z3 F/4/=1X
 03 ВЫХ X
 04 55. ПОД RNUX
 05 ВЫЧ SO=0X
 06 ВЫХ X
 07 НАЧ 1X
 08